

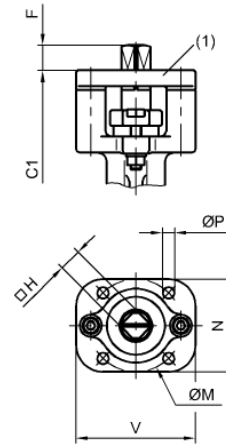
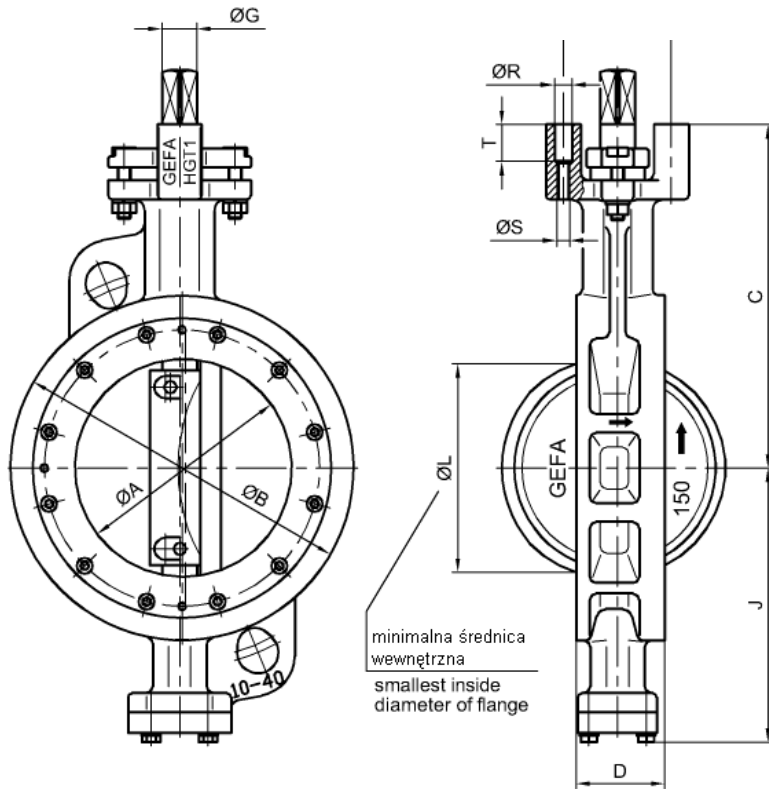
Nr części Part No.	Opis Description	Materiał			
		HGT166353MGP	HGT144353MGP	HGT166353IGP	HGT144353IGP
	max. temperatura robocza ** max. working temperature **	+ 450 °C			
1	Korpus Body	1.4408	GS-C25	1.4408	GS-C25
2	Tarcza Disc	1.4408 azotow/nitrated	1.4408 azotow/nitrated	1.4408 azotow/nitrated	1.4408 azotow/nitrated
3	Wał Stem	1.4462 lub 1.4542	1.4462 lub 1.4542	1.4462 lub 1.4542	1.4462 lub 1.4542
4*	Pierścień uszczel. Seat	1.4401/Grafit 1.4401/Graphite	1.4401/Grafit 1.4401/Graphite	Inconel/Grafit Inconel/Graphite	Inconel/Grafit Inconel/Graphite
5	Tuleja łożyskowa Bearing	1.4401 azotow/nitrated	1.4401 azotow/nitrated	1.4401 azotow/nitrated	1.4401 azotow/nitrated
6*	Pakunek Gland packing	Grafit graphite	Grafit graphite	Grafit graphite	Grafit graphite
7	Pierścień zaciskowy Insert ring	1.4571	C-Stal Carbon steel	1.4571	Stal węglowa Carbon steel

* = części zużywające się / wearing parts

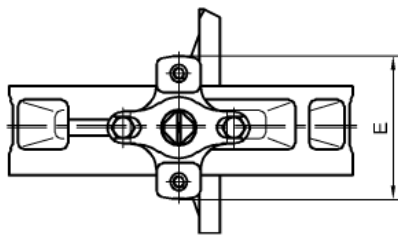
** = w zależności od ciśnienia / depending on working pressure

Wybór innego materiału na zapytanie **Other materials available**

Dł. zabudowy: EN 558-1 Typoszereg 20 (DIN 3202-K1) Face to face dimension: EN 558-1 line 20 (DIN 3202-K1)



Podkładka montaż. mounting plate ISO 5211	H	ØM	N	nxØP	V
F05	14	50	50	4x6,6	90
F07	17	70	70	4x9	90
F10	22	102	95	4x11	125
F12	27	125	125	4x14	150
F14	36	140	135	4x18	150
F16	46	165	Ø210	4x22	-
F25	55	254	Ø300	8x18	-



Podkładka montażowa MULTITOP i kwadratowy adapter do bezpośredniego montażu napędu z większym połączeniem kołnierza. Możliwe specjalne wykonanie.

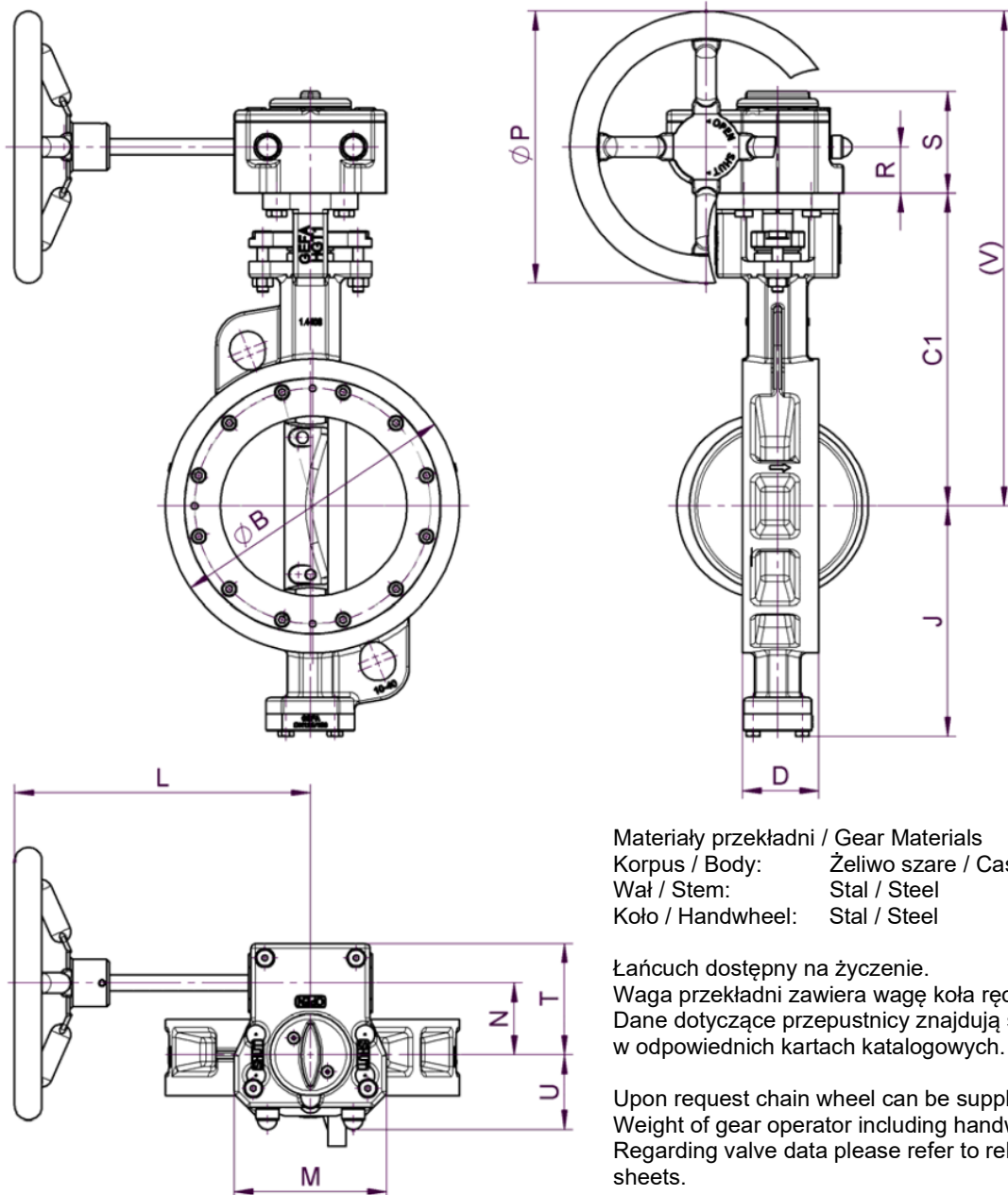
MULTITOP mounting plate and square - adapter for direct mounting of actuators with larger connection flange. Special designs possible.

DN	NPS	ØA	ØB	C	C1	D	E	F	G	J	ØL	ØR	ØS	T	U	kg	min. przyłącze napędu min. mounting plate DIN 3337/ISO 5211
80	3"	70,5	133	162	177	46	90	16	18	122	76	11	M8	23	68	5,2	F05
100	4"	91,5	156	179	194	52	90	16	18	135	93	11	M8	23	68	6,7	F05
125	5"	111,5	188	197	212	56	90	19	22	152	118	11	M8	23	68	9,6	F07
150	6"	131,8	216	215	230	56	90	19	22	174	139	11	M8	23	68	11,7	F07
200	8"	177	268	262	280	60	125	24	28	216	190	13	M10	23	95	19,6	F10
250	10"	225	323	292	310	68	125	24	28	248	238	13	M10	23	95	28,0	F10
300	12"	268	375	336	356	78	150	29	36	283	281	16	M12	22	115	40,0	F12

Waga bez podkładki montażowej
Weight without mounting plate

Wymiary przepustnicy serii HGT1 z żeliwną przekładnią ślimakową DN 80 – DN 300

ul. Zakładowa 4D 62-510 Konin, Tel. 63 245 34 79, E-mail: gefa@hydro-tech.pl

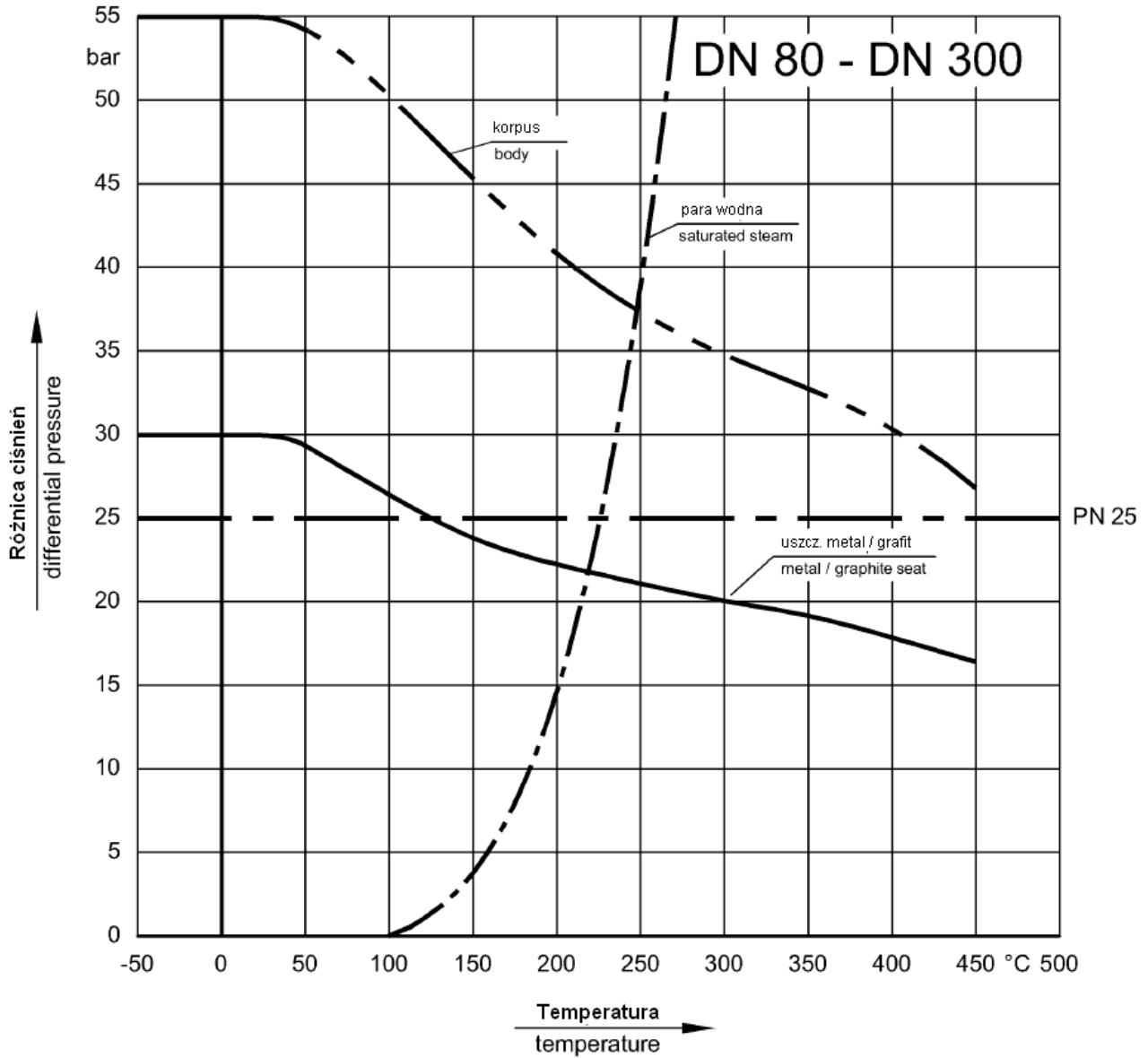


Materiały przekładni / Gear Materials
Korpus / Body: Żeliwo szare / Cast iron
Wał / Stem: Stal / Steel
Koło / Handwheel: Stal / Steel

Łańcuch dostępny na życzenie.
Waga przekładni zawiera wagę koła ręcznego.
Dane dotyczące przepustnicy znajdują się
w odpowiednich kartach katalogowych.

Upon request chain wheel can be supplied.
Weight of gear operator including handwheel.
Regarding valve data please refer to relevant data
sheets.

DN	NPS	Type przekładni Gear type	$\varnothing B$	C1	D	J	L	M	N	$\varnothing P$	R	S	T	U	V	kg
80	3"	BGPQ200S14V12512	133	177	46	122	126	84	44	125	29	64	68	46	269	2,3
100	4"	BGPQ200S14V12512	156	194	52	135	126	84	44	125	29	64	68	46	286	2,3
125	5"	BGPQ400S17V20012	188	212	56	152	215	112	53	200	34	75	82	55	346	4,1
150	6"	BGPQ400S17V20012	216	230	56	174	215	112	53	200	34	75	82	55	364	4,1
200	8"	BGPQ800S22V25015	268	280	60	216	266	135	69	250	43	91	115	73	448	7,6
250	10"	BGPQ800S22V25015	323	310	68	248	266	135	69	250	43	91	115	73	478	7,6
300	12"	BGPQ800S27V25015	375	356	78	283	266	135	69	250	43	91	115	73	524	7,6



DN	NPS	Moment obrotowy metal / grafit - gniazdo Torque Metal / graphite seat $\Delta p = 6$ bar Nm	Moment obrotowy metal / grafit - gniazdo Torque Metal / graphite seat $\Delta p = 10$ bar Nm	Moment obrotowy metal / grafit - gniazdo Torque Metal / graphite seat $\Delta p = 16$ bar Nm	Moment obrotowy metal / grafit - gniazdo Torque Metal / graphite seat $\Delta p = 25$ bar Nm	Najwyższy dozwolony moment obrotowy Maximum permissible torque Nm
80	3"	80	85	90	100	235
100	4"	110	115	125	140	235
125	5"	170	180	200	225	430
150	6"	240	255	280	315	430
200	8"	340	370	410	465	900
250	10"	380	425	490	580	900
300	12"	500	560	650	780	1700

Przy doborze napędu nie jest konieczne branie pod uwagę dodatkowego współczynnika kontrolnego.

An additional security factor is not necessary for actuator selection.

DN	NPS	Kąt otwarcia kłapy Degree of disc rotation								
		10°	20°	30°	40°	50°	60°	70°	80°	90°
80	3"	10,7	30,6	56,7	88,4	105,0	118,0	137,0	152,0	143,0
100	4"	22,3	48,9	85,4	135,0	182,0	219,0	261,0	298,0	308,0
125	5"	15,4	51,6	106,0	170,0	252,0	328,0	402,0	465,0	488,0
150	6"	23,2	82,1	149,0	223,0	311,0	417,0	529,0	657,0	718,0
200	8"	46,4	126,0	267,0	424,0	645,0	860,0	1120,0	1315,0	1360,
250	10"	77,6	211,0	381,0	614,0	921,0	1310,0	1790,0	2230,0	2460,0
300	12"	117,0	336,0	652,0	1050,0	1570,0	2280,0	2870,0	3450,0	3780,0

K_v = wielkość przepływu w m^3/h przy stratach ciśnienia 1 bar dla wody ($\rho=1000 \text{ kg/m}^3$)

K_v = water flow ($\rho=1000 \text{ kg/m}^3$) in m^3/h passing through the valve at a pressure drop of 1 bar

C_v = wielkość przepływu w US gal/min przy stratach ciśnienia 1 psi dla wody ($\rho=1000 \text{ kg/m}^3$)

C_v = water flow ($\rho=1000 \text{ kg/m}^3$) in US gal/min passing through the valve at a pressure drop of 1 psi

$C_v = K_v \times 1,16$

Formuła obliczenia wartości K_v - / Basic formula for calculation of K_v -value

Różnica ciśnień pressure drop	Ciecz liquid	Gaz gas	Para steam
$p_2 > \frac{p_1}{2}$ $\Delta p < \frac{p_1}{2}$	$K_v = Q \cdot \sqrt{\frac{\rho}{1000 \cdot \Delta p}}$	$K_v = \frac{Q_N}{514} \cdot \sqrt{\frac{\rho_N \cdot (t_1 + 273^\circ)}{\Delta p \cdot p_2}}$	$K_v = \frac{G}{31,6} \cdot \sqrt{\frac{v_2}{\Delta p}}$
$p_2 < \frac{p_1}{2}$ $\Delta p > \frac{p_1}{2}$	$K_v = Q \cdot \sqrt{\frac{\rho}{1000 \cdot \Delta p}}$	$K_v = \frac{2 \cdot Q_N}{514 \cdot p_1} \cdot \sqrt{\rho_N \cdot (t_1 + 273^\circ)}$	$K_v = \frac{G}{31,6} \cdot \sqrt{\frac{2 \cdot v}{p_1}}$

Q (m^3/h) wielkość przepływu w stanie pracy

Q_N (m^3/h) wielkość przepływu przy 0 °C, 1013,3 mbar

G (kg/h) przepływ masy

p_1 (bar) ciśnienie na wejściu

p_2 (bar) ciśnienie na wyjściu

Δp (bar) różnica ciśnień (p_1-p_2)

ρ (kg/m^3) gęstość w stanie pracy

ρ_N (kg/m^3) gęstość przy 0 °C, 1013,3 mbar

v_2 (m^3/kg) specyficzna objętość przy p_2

v (m^3/kg) specyficzna objętość przy $p_1/2$ i t_1

t_1 (°C) temperatura robocza

flow during operation

flow at 0 °C, 1013,3 mbar

mass flow

abs. inlet pressure

abs. outlet pressure

pressure drop (p_1-p_2)

specific gravity of fluid during operation

specific gravity of fluid at 0 °C, 1013,3 mbar

specific volume at p_2

specific volume at $p_1/2$ and t_1

working temperature